

WHEATPEST, simulating multiple pest damage in varying winter wheat production situations

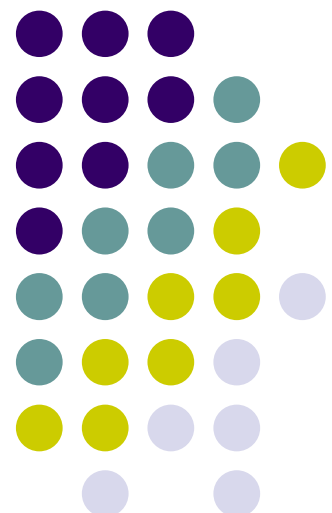
J. SOUDAIS (INRA Toulouse)

Séminaire modélisation pour la protection /
production intégrée des cultures

RMT Modélisation et Réseau PIC

Paris, le 29/09/09

Avec la collaboration de J.N. Aubertot, S. Buis, P. Debaeke, C. Lannou,
S. Lebard, B. Mille, C. Robert (INRA), S. Savary, L. Willocquet
(International Rice Research Institute), J. Czembor, O. Domeradzka
(Plant Breeding and Acclimatization Institute), L. Jørgensen (Danish
Institute for Agricultural Science)



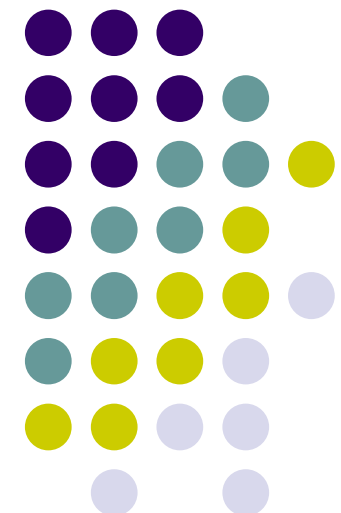


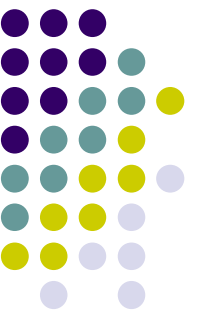
Introduction

- ENDURE Network: Réseau d'excellence Européen qui a pour objectif de construire une communauté durable de recherche en protection des cultures
 1. Présentation du modèle
 2. Exemple de résultats et évaluation de la qualité prédictive du modèle
 3. Conclusion

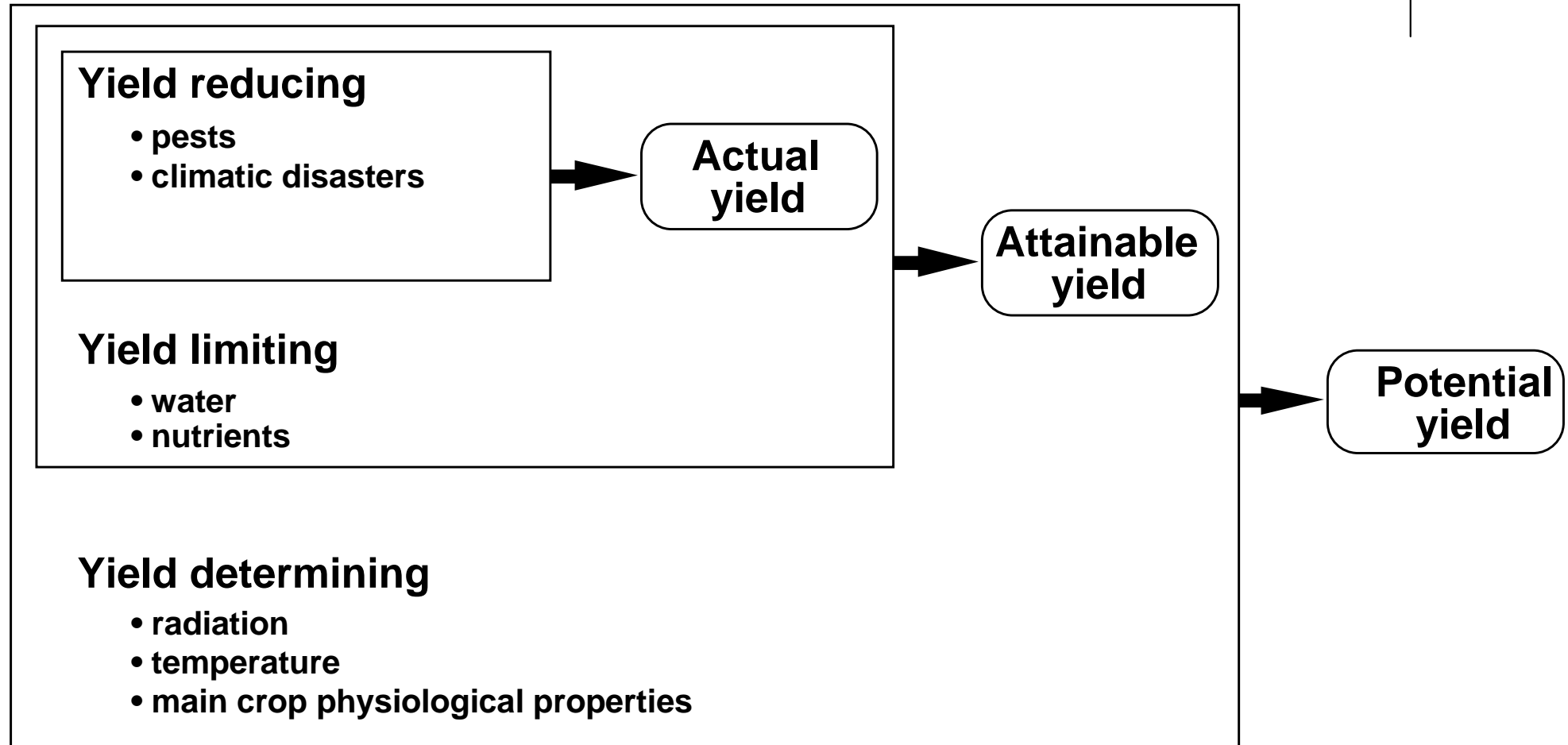


1. Présentation du modèle





Définition des rendements

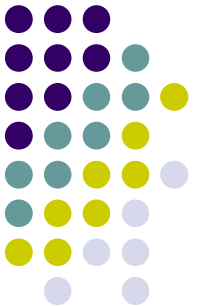


Perte de rendement = rendement accessible – rendement réel

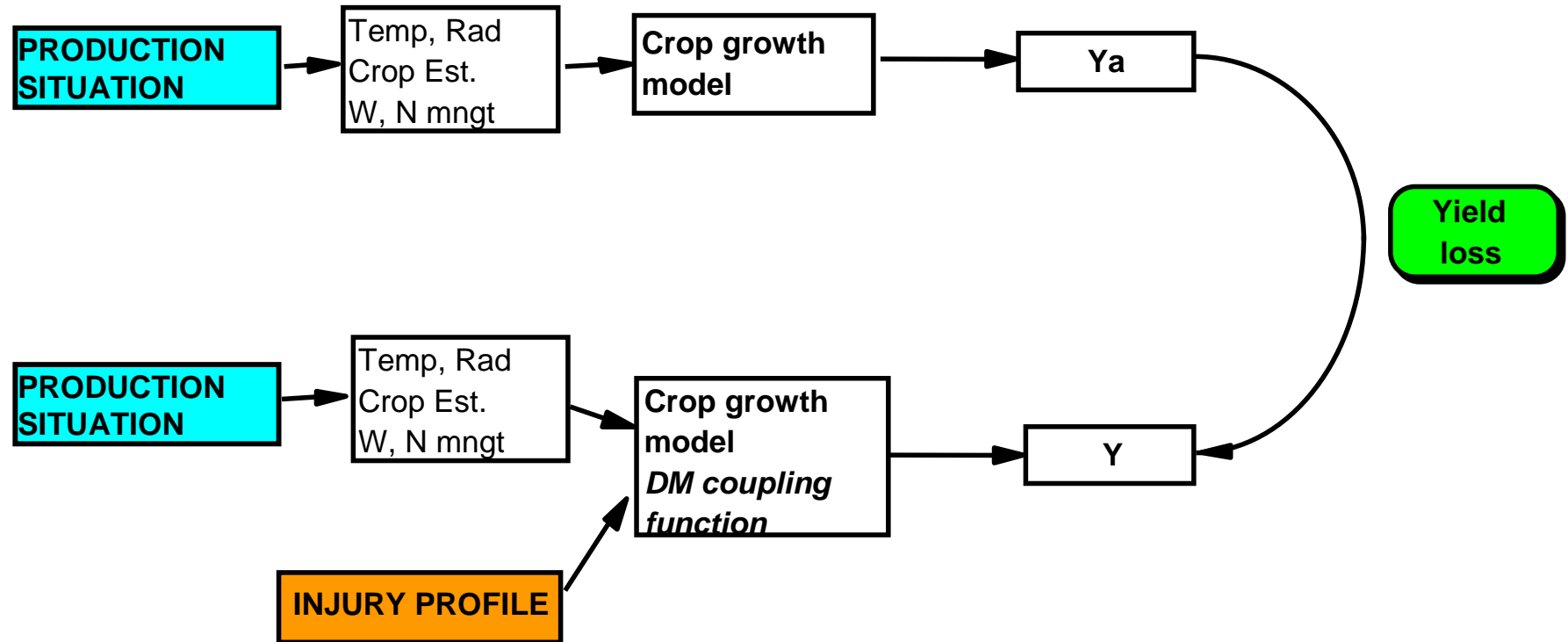
Zadoks, J.C., Schein, R.D., 1979.

Rabbinge, R., 1993.



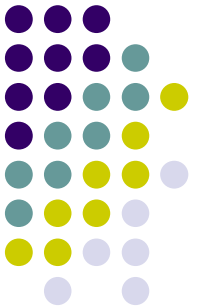


Simulation des pertes de rendement causées par un profil de dégâts d'une situation de production à l'aide d'un modèle de croissance



PS: production situation;
 Ya: attainable yield;
 Y: actual yield;
 DM: damage mechanism;
 W: water; N: nitrogen





3 mécanismes de dommages

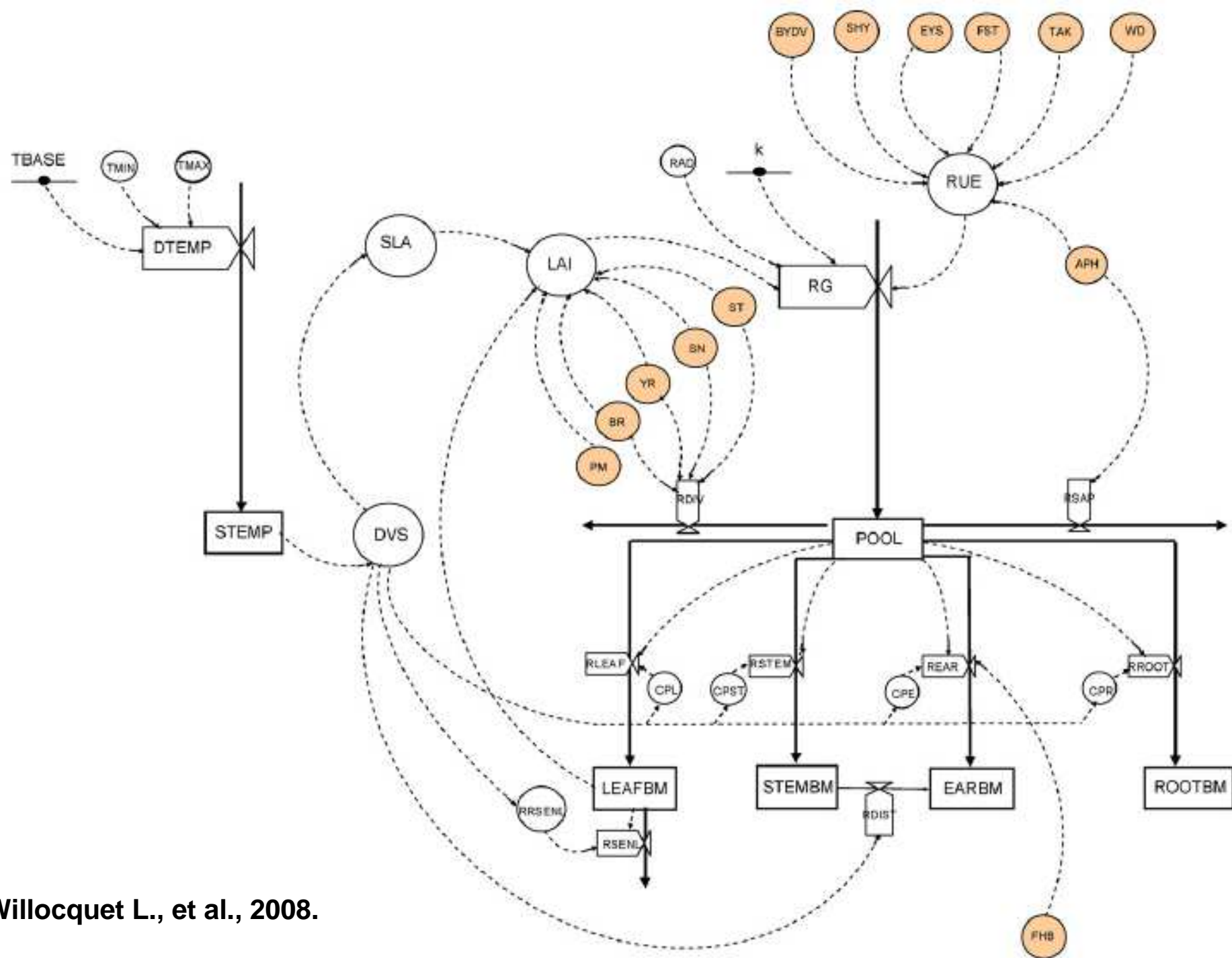
- Mécanisme de dommage: Effet physiologique d'un dégât sur la croissance d'une plante et l'élaboration du rendement. Peut être incorporé dans un modèle pour estimer les pertes de rendement

Damage mechanism	Physiological process/variable affected	Examples
Assimilate sapper	Maintenance/pool of assimilates	Aphids, rusts, septoria blotch
Light stealer	Light interception/green LAI	Rusts, powdery mildew, septoria blotch
Assimilate rate reducer	Photosynthesis/RUE	Eyespot, sharp eyespot, fusarium stem rot, take-all, weeds, BYDV, aphids

Rabbinge, R., Vereijken, P.H., 1980.

Boote, K.J., et al, 1983.

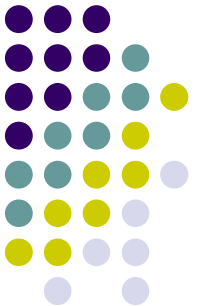




Willocquet L., et al., 2008.

Fig. 1. Simplified representation of the structure of WHEATPEST. Squares represent state variables; arrows with plain lines represent flows of quantities; arrows with dotted lines represent flows of information; grey circles represent pest injuries; other circles represent intermediate variables; valves represent rate variables; plain lines represent parameters (symbolism from Forrester, 1961); see Table 1 for definition of acronyms.



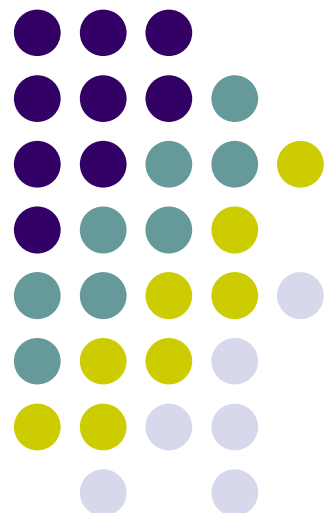


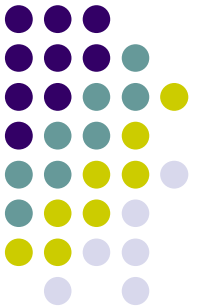
Variables d'entrée du modèle

- Météo
 - Température moyenne (°C) et rayonnement global (MJ. m⁻²) journaliers
- Situation de production
 - Coefficient de RUE (Radiation Use Efficiency, g.MJ⁻¹) ou rendement accessible (expertise)
- Peuplement
 - Dates des stades phénologiques (émergence, floraison, maturité)
 - Mesure de biomasse des organes (au minimum une mesure pour initialiser les variables d'état)
- Profil de dégâts
 - Observations de bioagresseurs (sévérités, incidences, densités selon le bioagresseur) à différentes dates



2. Exemple de résultats et évaluation de la qualité prédictive du modèle





Exemples de situations de production modélisées (Willocquet et al., 2008)

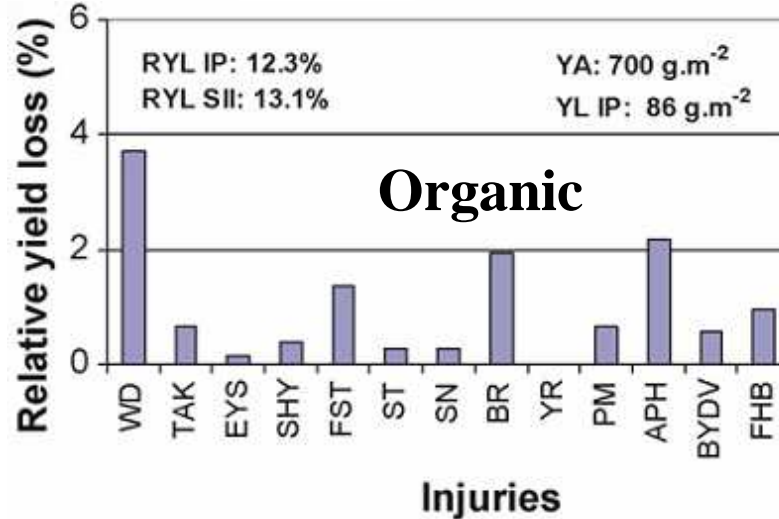
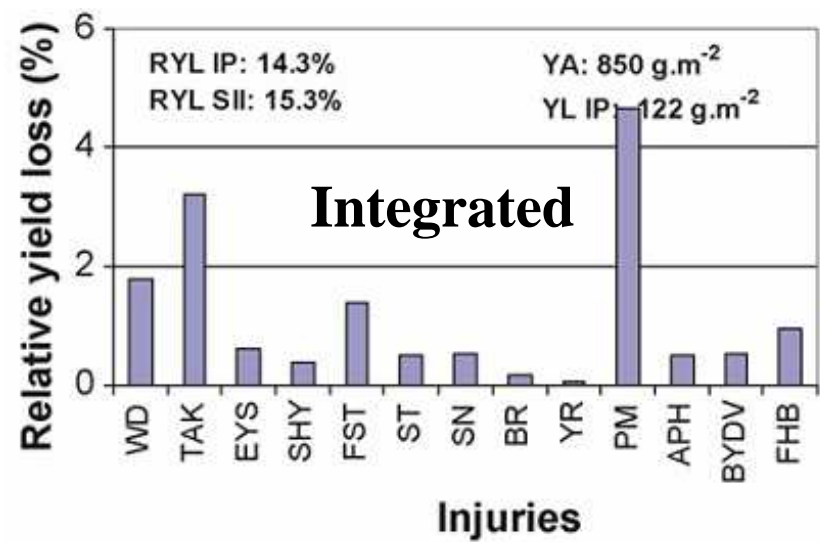
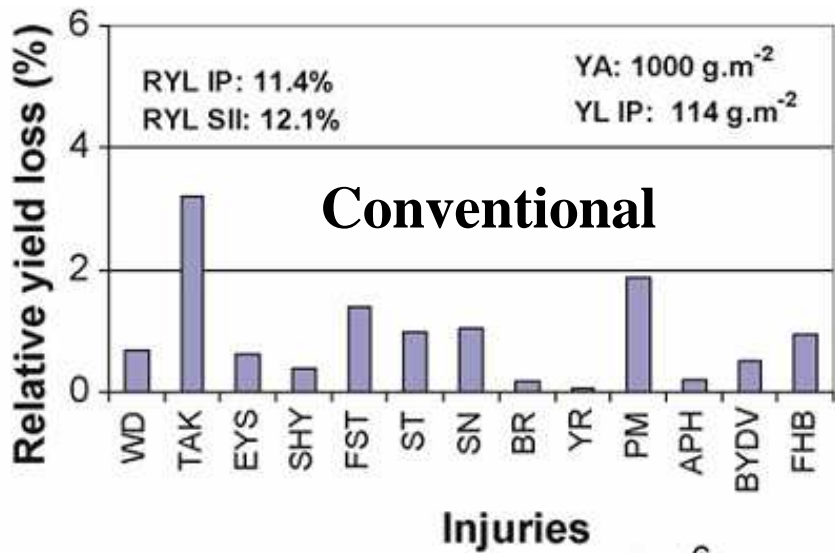
Situations de production

Crop management	Simulated attainable grain yield (q.ha^{-1})	RUE before anthesis (g.MJ^{-1})	RUE after anthesis (g.MJ^{-1})
Conventional	100	1.4	1.3
Integrated	85	1.24	1.14
Organic	70	1.085	0.985

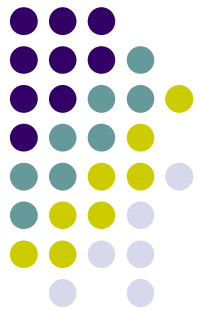
Profils de dégâts



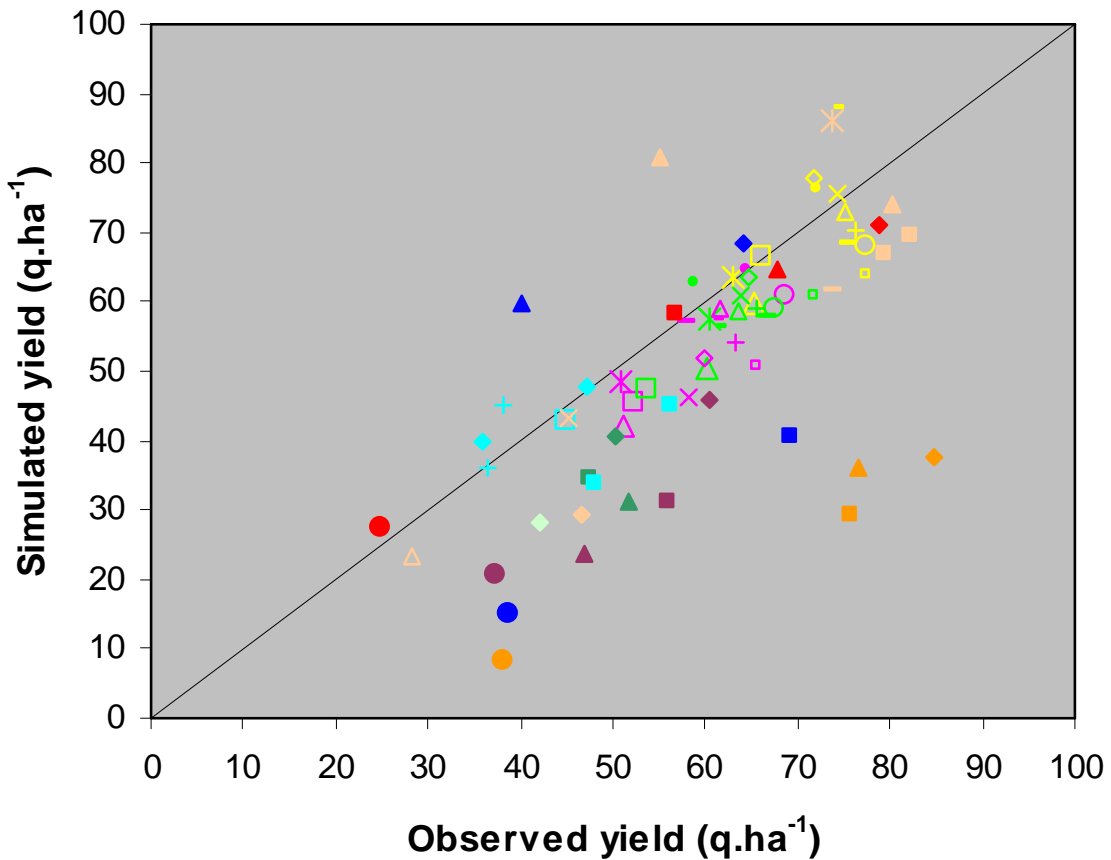
Exemples de résultats (Willocquet et al., 2008)



Analyse de la qualité prédictive



**Observed and simulated yields
(Denmark¹ - Poland - France²)**



RMSEP = 14.5 q.ha⁻¹
 RMSEP relative = 24%
 Efficience = -0.12
 Biais = 7.5 q.ha⁻¹
 Biais relatif = 12%

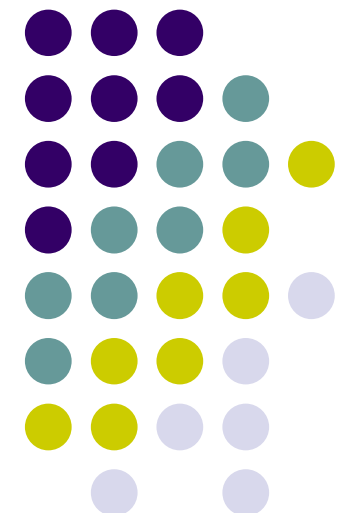
N1F193	N1F194	N1F195	N1F293
N1F294	N1F295	N1F493	N1F494
N1F495	N2F193	N2F194	N2F195
N2F293	N2F294	N2F295	N2F493
N2F494	N2F495	N4F193	N4F194
+	N4F293	N4F294	N4F295
N4F195	N4F293	N4F495	N4F193
N4F493	N4F294	N7F193	N7F194
N7F194	N7F195	N7F293	N7F294
N7F295	N7F195	N7F294	N7F495
INTS08P	N7F493	N7F494	N7F495
INTS05R	INTGC08P	INTGNC08P	ORG08P
INTS06R	ICER05R	ICA105R	ORG05R
INTS07R	ICER06R	ICAT06R	ORG06R
INTS08R	ICER07R	ICAT07R	ORG07R
C01	ICER08R	ICAT08R	ORG08R
E05	C05	D05	B02
F06	E03	E06	D07
I05	F08	I01	F03
	I07	I08	I03
			I09
1:1			

¹ Olesen et al., 2003 a and b

² Debaeke 1993 and Debaeke et al., 1996



3. Conclusion

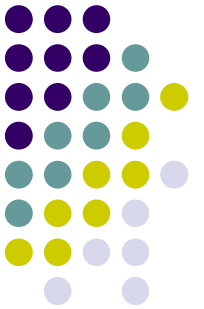




Une démarche originale

- Représentation d'un système complexe par une structure de modélisation simple
- Modèle développé uniquement à partir de données publiées
- Outil de diagnostic de pressions biotiques
- Support pédagogique
 - Formation à la modélisation PHC Polonium (Pologne)
 - Summer school ENDURE 2009 (Italie)



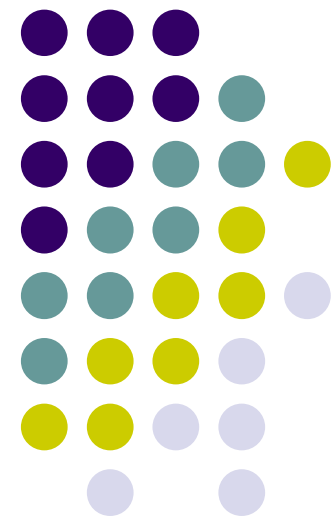


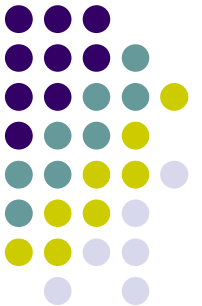
Perspectives

- Adaptation du modèle au blé de printemps en Europe Centrale
- Evaluation de la qualité prédictive du modèle: 2 années d'expérimentations en Pologne et 4 en France (Rennes), mobilisation de données européennes (Danemark, France)
- Analyse de sensibilité
- Implémentation RECORD (internet)



Merci pour votre attention





Références bibliographiques

- Boote, K.J., Jones, J.W., Mishoe, J.W., Berger, R.D., 1983. Coupling pests to crop growth simulators to predict yield reductions. *Phytopathology* 73, 1581-1587.
- Debaeke P., 1993. Conditions de l'impasse de désherbage chimique en céréales d'hiver : effet du type de flore, de la rotation et du potentiel de rendement de la culture. In : Thomas J.M., (Ed.) Proceedings 4th IFOAM Conference on Non-Chemical Weed Control, Dijon, 1993, 289-294.
- Debaeke Ph., Aussénac Th., Fabre J.L., Hilaire A., Pujol B. and Thuriès L., 1996. Grain nitrogen content of winter bread wheat (*Triticum aestivum* L.) as related to crop management and to the previous crop. *European Journal of Agronomy* 5 (1996), 273-286.
- Olesen J. E., Jørgensen L. N., Petersen J. and Mortensen J. V., 2003 a. Effects of rate and timing of nitrogen fertilizer on disease control by fungicides in winter wheat. 1. Crop yield and foliar disease control. *Journal of Agricultural Science*, Cambridge, 140, 1-13 .
- Olesen J. E., Jørgensen L. N., Petersen J. and Mortensen J. V., 2003 b. Effects of rates and timing of nitrogen fertiliser on disease control by fungicides in winter wheat. 2. Crop growth and disease development. *Journal of Agricultural Science*, Cambridge, 140, 15-29.
- Rabbinge, R., 1993. The ecological background of food production. In: Chadwick D.J., Marsh, J. (Eds.), *Crop Protection and Sustainable Agriculture*. John Wiley and Sons, Chichester, UK, pp 2-29.
- Rabbinge, R., Vereijken, P.H., 1980. The effect of diseases or pests upon the host. *Z. Pflkrankh. Pflschutz* 87, 409-422.
- Willocquet L., Aubertot J.-N., Lebard S., Robert C., Lannou C. and Savary S., 2008. Simulating multiple pest damage in varying winter wheat production situations. *Field Crops Research*, 107 (1), p.12-28.
- Willocquet, L., Savary, S., Fernandez, L., Elazegui, F., Teng P.S., 1998. Simulation of yield losses caused by rice diseases, insects, and weeds in tropical Asia. IRRI Discussion Paper Series no 34. IRRI, Los Baños, Philippines, pp. 62.
- Zadoks, J.C., Schein, R.D., 1979. *Epidemiology and Plant Disease Management*. Oxford University Press, New York.

